



Rapport Projet Télécommunications
Introduction à l'égalisation : Impact d'un canal de
propagation sélectif en fréquence et méthodes
d'égalisation

LAURIOL François, GRAS Yael

Département Sciences du Numérique - Première année
2021-2022

Table des matières

1	Introduction	3
2	Étude théorique	3
3	Implantation sur Matlab	7
3.1	Chaîne de transmission sans canal	7
3.2	Chaîne de transmission sans bruit	7
3.3	Chaîne de transmission avec bruit	9
4	Egalisation ZFE	10
4.1	Implantation sous Matlab sans bruit	10

Table des figures

1	Signal reçu $y_e(t)$	3
2	Réponse impulsionnelle de la chaîne de transmission	4
3	Diagramme de l'oeil de la chaîne de transmission	5
4	Forme du signal en sortie du filtre de réception	8
5	Diagramme de l'oeil	8
6	Constellation obtenue en réception	9
7	TEB simulée et TEB théorique (rapport signal à bruit par bruit par bit à l'entrée du récepteur allant de 0 à 10 dB)	9
8	Comparaison du TEB de la chaîne de transmission implantée avec le TEB obtenu pour la même chaîne de transmission sans filtrage canal	9
9	Coefficients de l'égaliseur en plaçant un Dirac à l'entrée de la chaîne	10
10	Réponse en fréquence du canal de propagation, de l'égaliseur et du produit des deux	10
11	Réponse impulsionnelle de la chaîne de transmission échantillonnée à N_s avec et sans égalisation	11

1 Introduction

L'objectif du travail présenté dans ce rapport était de tester la mise en place d'un filtre supplémentaire au niveau du récepteur appelé égaliseur pour supprimer les interférences introduites par le canal de propagation.

2 Étude théorique

Question 1 :

On a : $y_e(t) = x_e(t - \tau_0) \times \alpha_0 + x_e(t - \tau_1) \times \alpha_1$

Question 2 :

On sait que :

$$y_e(t) = x_e(t) * h_c(t)$$

Or, d'après la question 1 :

$$y_e(t) = x_e(t) * \delta(t - \tau_0) \times \alpha_0 + x_e(t) * \delta(t - \tau_1) \times \alpha_1$$

Donc :

$$h_c(t) = \alpha_0 \delta(t - \tau_0) + \alpha_1 \delta(t - \tau_1)$$

Question 3 :

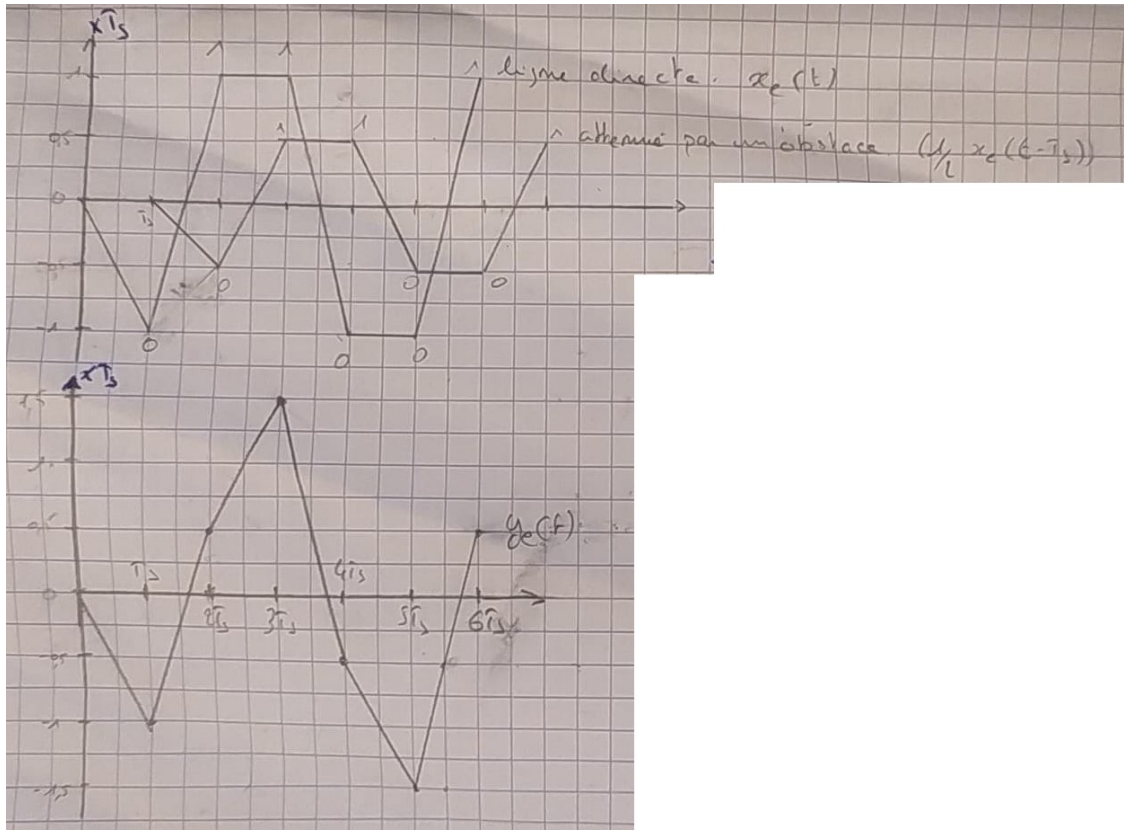


FIGURE 1 – Signal reçu $y_e(t)$

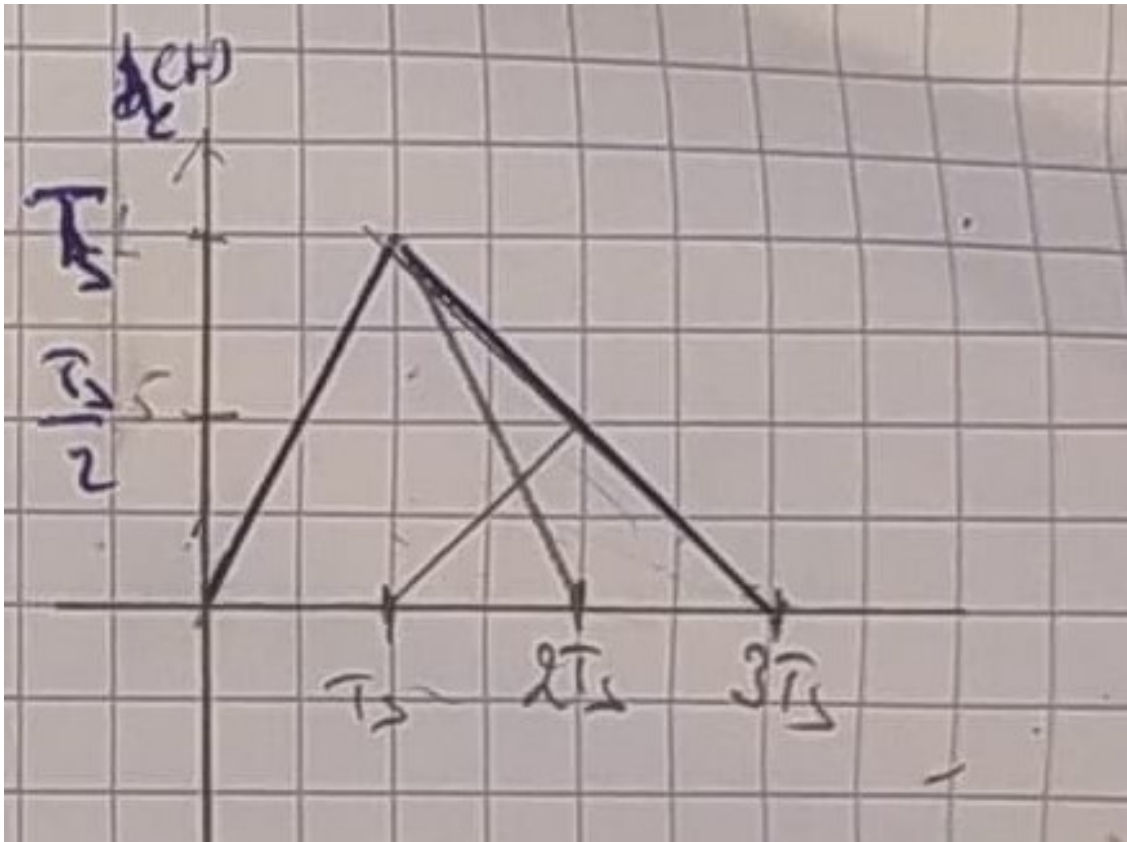


FIGURE 2 – Réponse impulsionnelle de la chaîne de transmission

Question 4 :

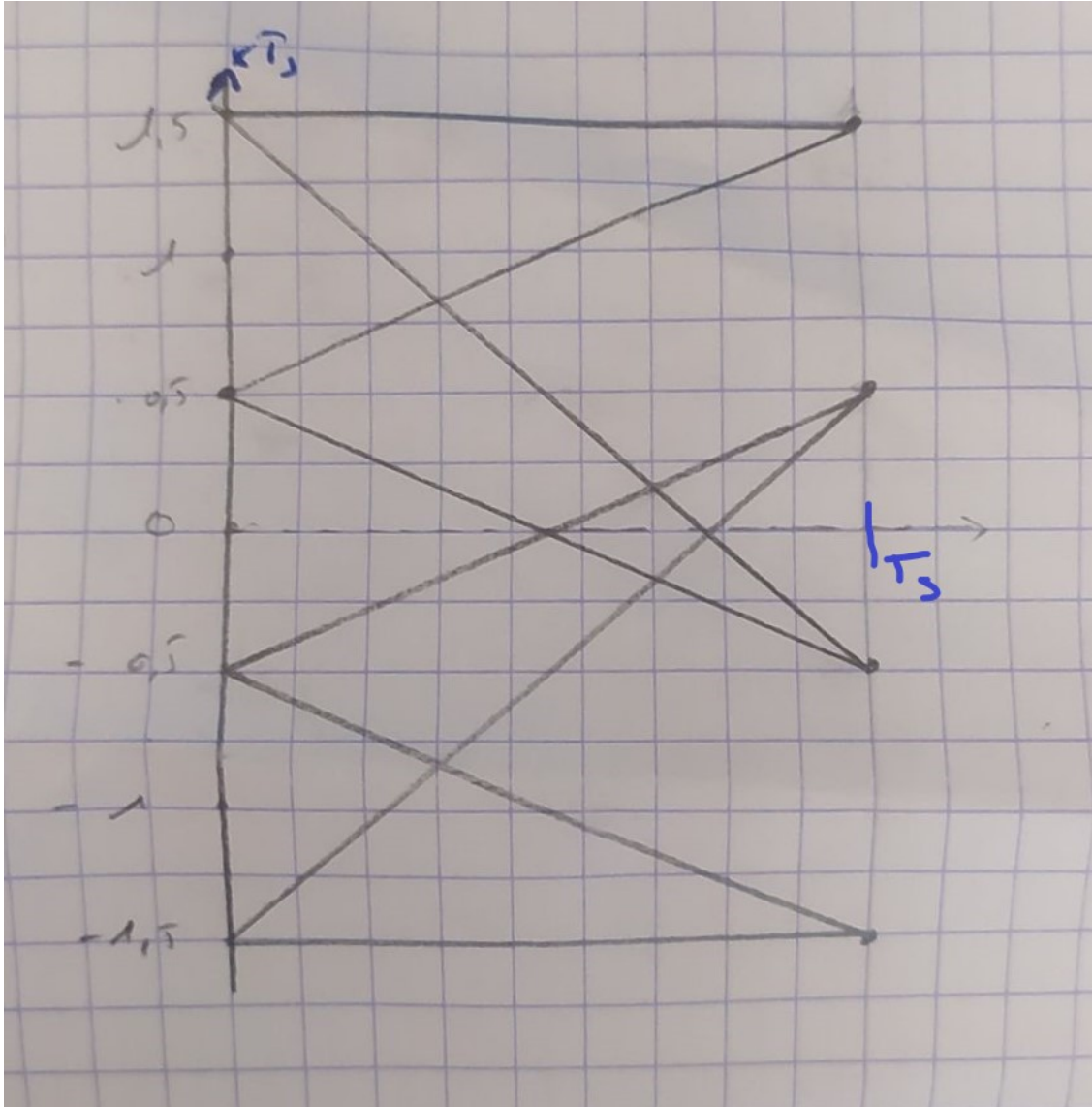


FIGURE 3 – Diagramme de l'oeil de la chaîne de transmission

Le critère de Nyquist ne peut être vérifié sur cette chaîne de transmission car il n'existe pas de t pour que $g(t + mT_s) = 0, \forall m \in \mathbb{Z}$, de plus on voit sur le diagramme de l'oeil 4 symboles différents or d'après le mapping nous devrions n'avoir que 2 symboles différents émis. Cependant nous voyons sur le diagramme de l'oeil que dans notre cas particulier si on prend l'instant d'échantillonnage à T_s , on peut retrouver les symboles. En effet, si le symbole est positif il correspond à un 1 sinon il correspond à un 0. Ainsi il est possible de retrouver l'information même si on ne respecte pas le critère de Nyquist.

Question 5 :

Si on émet un symbole $a_k = -1$, nous recevons si $a_{k-1} = 1$, $-0,5 \times g(t_0) + \omega_n$ ou nous recevons si $a_{k-1} = -1$, $-1,5 \times g(t_0) + \omega_n$. Ainsi :

$$TEB = 0.5 * P(a'_k = 1 | a_k = -1) + 0.5 * P(a'_k = -1 | a_k = 1)$$

Or :

$$\begin{aligned}
P(a'_k = 1 | a_k = -1) &= P(a'_{k-1} = -1) \times P(-1, 5 \times g(t_0) + \omega_n) + P(a'_{k-1} = 1) \times P(-0, 5 \times g(t_0) + \omega_n) \\
&= \frac{1}{2} \times (P(\frac{\omega_n}{\sigma_\omega} > \frac{1, 5 \times T_s}{\sigma_\omega}) + P(\frac{\omega_n}{\sigma_\omega} > \frac{0, 5 \times T_s}{\sigma_\omega})) \\
P(a'_k = -1 | a_k = 1) &= \frac{1}{2} \times (P(\frac{\omega_n}{\sigma_\omega} < \frac{-1, 5 \times T_s}{\sigma_\omega}) + P(\frac{\omega_n}{\sigma_\omega} > \frac{-0, 5 \times T_s}{\sigma_\omega}))
\end{aligned}$$

Idem :

$$P(a'_k = -1 | a_k = 1) = \frac{1}{2} \times (P(\frac{\omega_n}{\sigma_\omega} < \frac{-1, 5 \times T_s}{\sigma_\omega}) + P(\frac{\omega_n}{\sigma_\omega} > \frac{-0, 5 \times T_s}{\sigma_\omega}))$$

Ainsi :

$$TEB = \frac{1}{2} (Q(\frac{1, 5 \times T_s}{\sigma_\omega}) + Q(\frac{0, 5 \times T_s}{\sigma_\omega}))$$

Question 6 :

On a :

$$\begin{aligned}
\sigma_\omega^2 &= \int_{\mathbb{R}} S_\omega(f) df \\
&= N_0 \int_{\mathbb{R}} |H_r(f)|^2 df \\
&= N_0 \int_{\mathbb{R}} |h_r(t)|^2 dt
\end{aligned}$$

Ainsi :

$$\sigma_\omega^2 = N_0 T_s$$

Question 7 :

On a

$$E_s = P_x T_s$$

Or comme les symboles sont à moyenne nulle :

$$\begin{aligned}
S_x(f) &= \frac{\sigma_a^2}{T_s} |H_e(f)|^2 \\
&= \frac{E(|a_k|^2)^2}{T_s} |H_e(f)|^2 \\
&= \frac{E(|a_k|^2)^2}{T_s} |H(f)H_c(f)|^2
\end{aligned}$$

Avec :

$$\begin{aligned}
h(t) * h_c(t) &= h(t) * (\delta(t) + 0, 5\delta(t - T_s)) \\
h(t) * h_c(t) &= h(t) + 0, 5h(t - T_s) \\
h(t) * h_c(t) &= \Pi_{T_s}(t - \frac{T_s}{2}) + 0, 5\Pi_{T_s}(t - \frac{3T_s}{2})
\end{aligned}$$

Ainsi on obtient :

$$\begin{aligned}
P_x &= \int_{\mathbb{R}} S_x(f) df \\
P_x &= \frac{1}{2T_s} \int_{\mathbb{R}} |H_e(f)|^2 df \\
P_x &= \frac{1}{2T_s} \int_{\mathbb{R}} |h_e(t)|^2 dt \\
P_x &= \frac{1}{2T_s} (T_s + 0,25T_s) \\
P_x &= \frac{5}{8}
\end{aligned}$$

Pour conclure on obtient

$$E_s = \frac{5}{8} T_s = E_b$$

Question 8 :

On a : $T_s = \frac{8}{5} E_b$ donc on a $\sigma_{\omega}^2 = N_0 \frac{8}{5} E_b$. Ainsi en injectant dans la formule du TEB trouvé à la question 5 on obtient :

$$TEB = \frac{1}{2} (Q(\sqrt{\frac{18E_b}{5N_0}}) + Q(\sqrt{\frac{2E_b}{5N_0}}))$$

3 Implantation sur Matlab

3.1 Chaîne de transmission sans canal

En implémentant la chaîne de transmission sans canal, on obtient bien comme TEB de la liaison un TEB nul.

3.2 Chaîne de transmission sans bruit

On s'attendait effectivement à ce genre de constellation (figure 8), étant donné le diagramme de l'oeil que l'on possède (montré question 4, figure 3), ce sont bien les 4 seules valeurs atteignables après un échantillonnage avec $n_0 = N_s$.

Le TEB est bien nulle. Comme indiqué dans la partie théorique, on distingue aisément le signal en sortie du filtre de réception puisque comme indiqué dans la partie théorique (Question 4) à l'échantillonnage on décide aisément si le signal correspond à un 1 (positif) ou 0 (négatif).

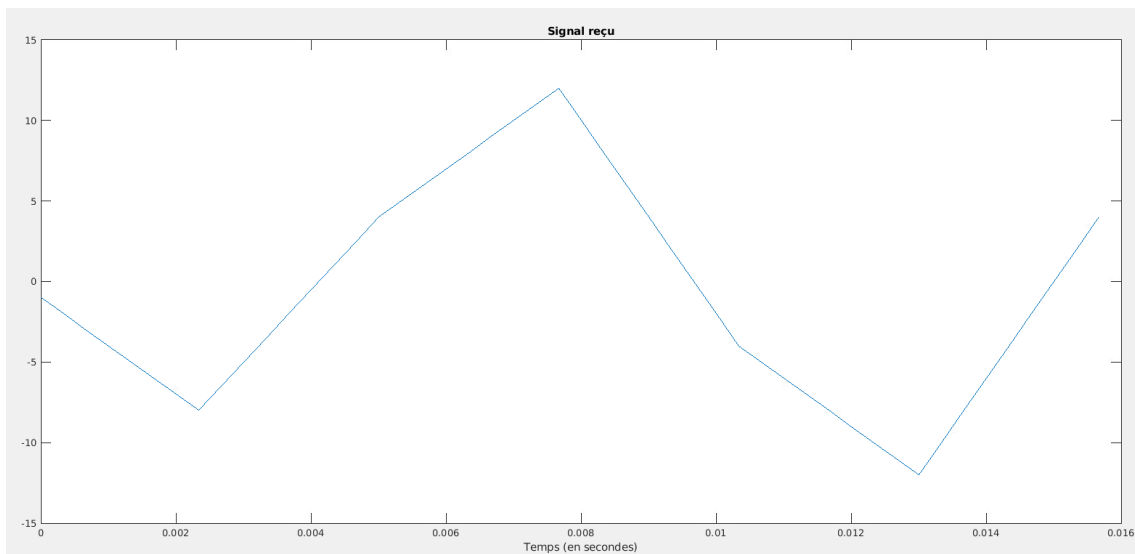


FIGURE 4 – Forme du signal en sortie du filtre de réception

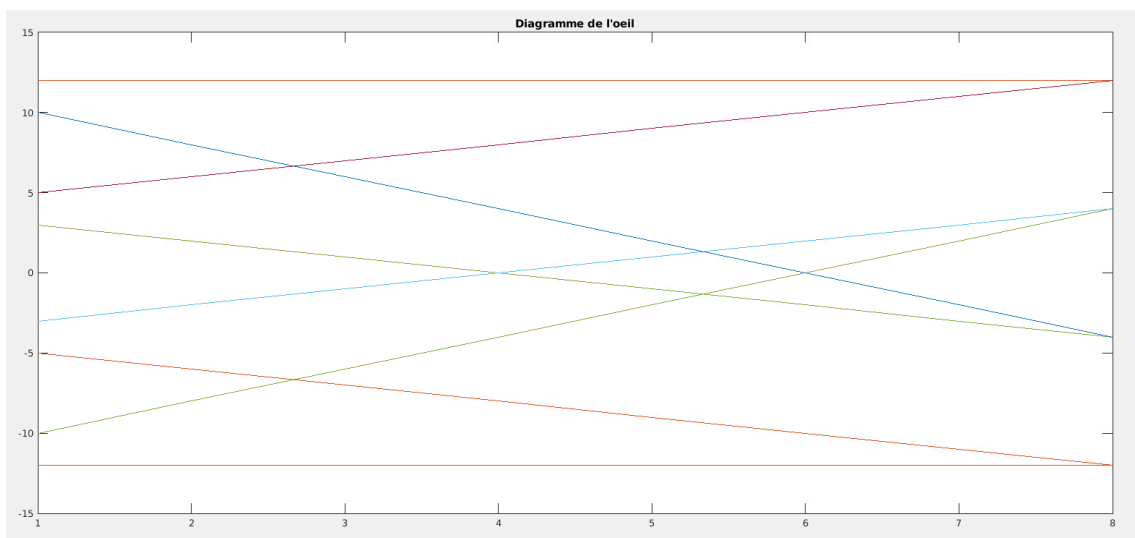


FIGURE 5 – Diagramme de l'oeil

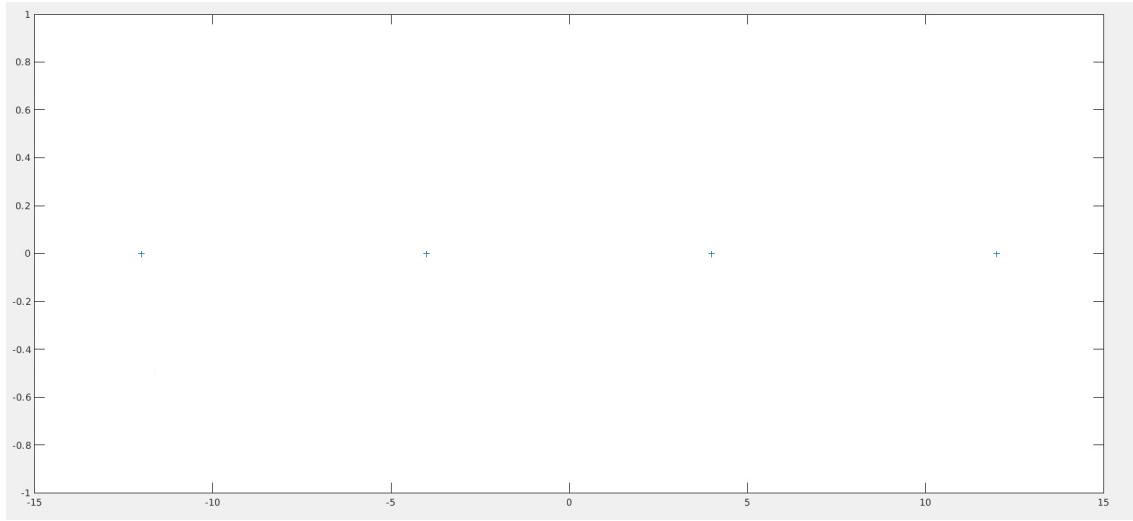


FIGURE 6 – Constellation obtenue en réception

3.3 Chaîne de transmission avec bruit

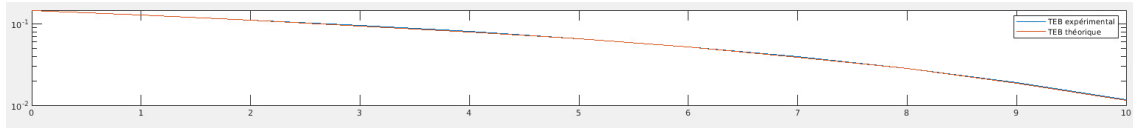


FIGURE 7 – TEB simulée et TEB théorique (rapport signal à bruit par bruit par bit à l'entrée du récepteur allant de 0 à 10 dB)

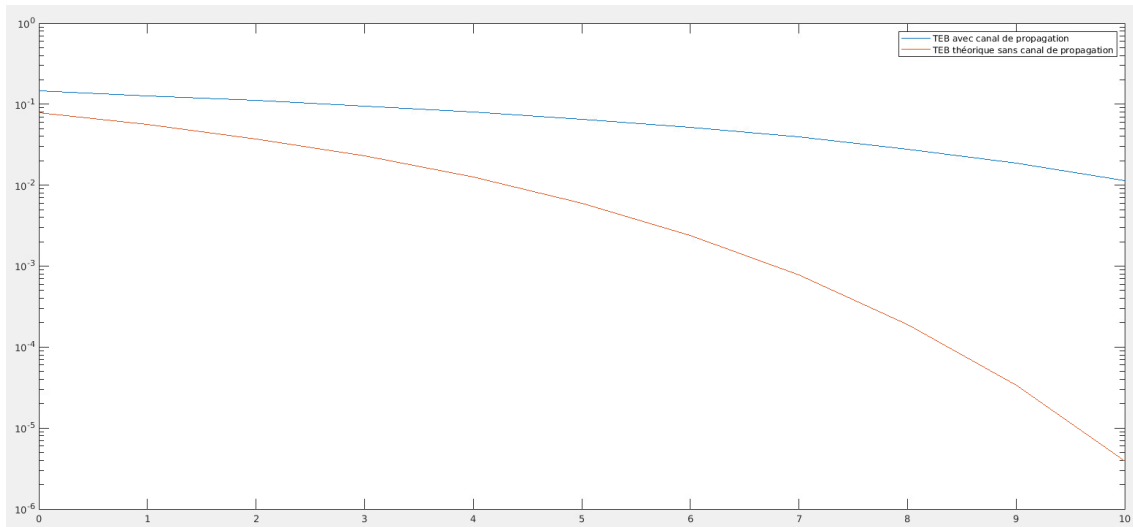


FIGURE 8 – Comparaison du TEB de la chaîne de transmission implantée avec le TEB obtenu pour la même chaîne de transmission sans filtrage canal

4 Egalisation ZFE

4.1 Implantation sous Matlab sans bruit

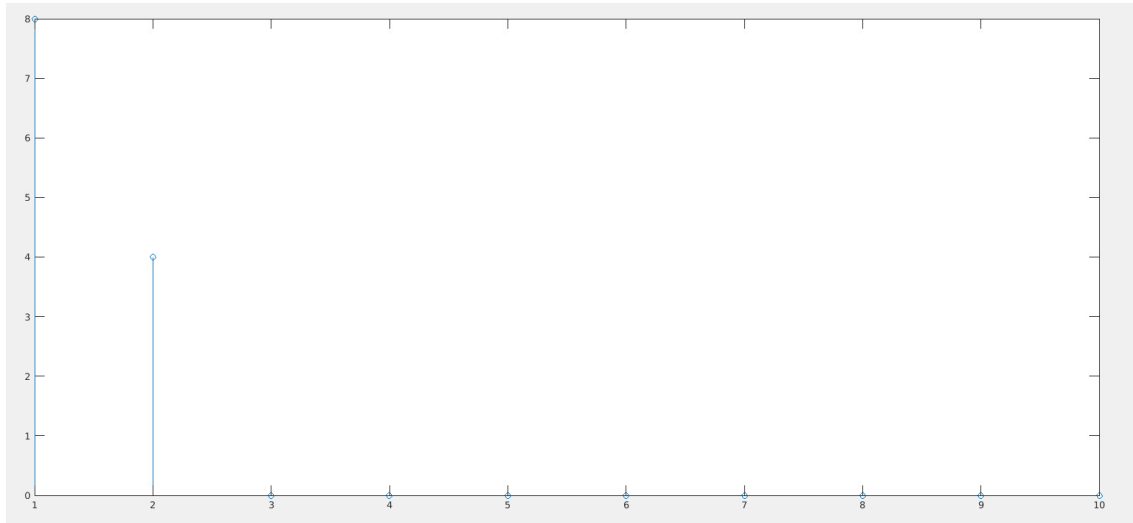


FIGURE 9 – Coefficients de l'égaliseur en plaçant un Dirac à l'entrée de la chaîne

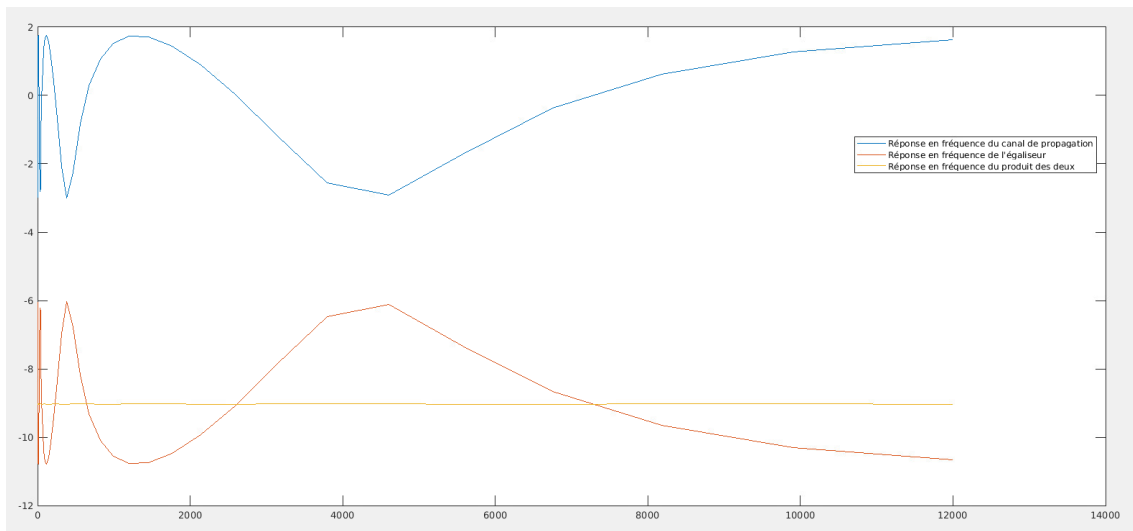


FIGURE 10 – Réponse en fréquence du canal de propagation, de l'égaliseur et du produit des deux

On conclut de la figure 10 que tout signal émis par l'émetteur est reçu simplement atténué par le récepteur après l'égaliseur.

On conclut de la figure 11 que tout signal émis par l'émetteur est reçu sans interférences par le récepteur après l'égaliseur.

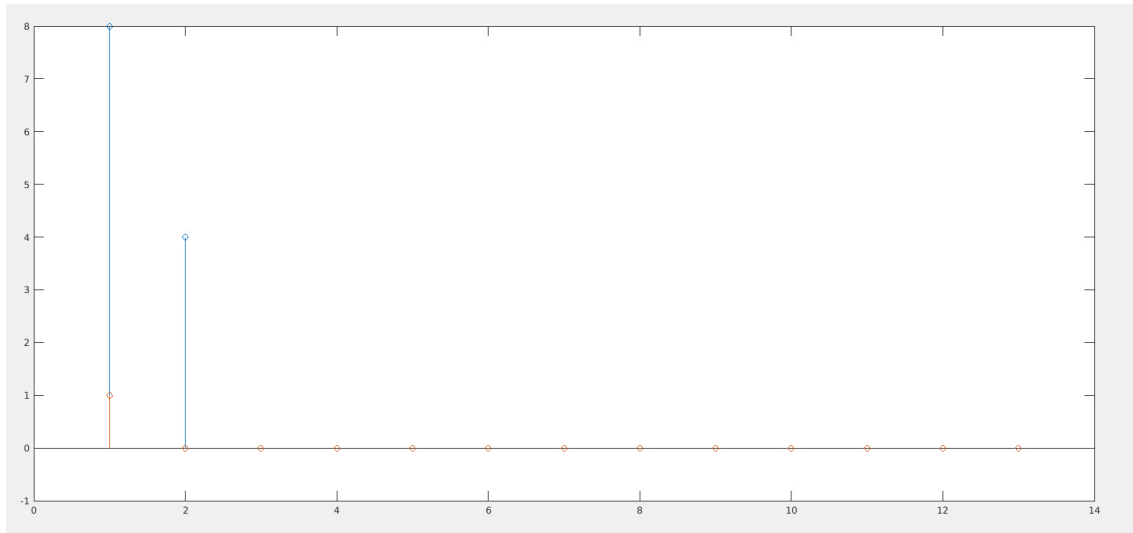


FIGURE 11 – Réponse impulsionnelle de la chaîne de transmission échantillonnée à N_s avec et sans égalisation